

РАДИАЦИОННЫЕ ПОПРАВКИ К СЕЧЕНИЮ ТРЕХФОТОННОЙ АННИГИЛЯЦИИ ЭЛЕКТРОНА И ПОЗИТРОНА ПРИ ВЫСОКИХ ЭНЕРГИЯХ

© 1995 г. Э. А. Кураев, З. К. Силахадзе¹⁾

Объединенный институт ядерных исследований, Дубна, Россия

Поступила в редакцию 28.09.94 г.

В логарифмическом приближении вычислены радиационные поправки к дифференциальному сечению процесса трехквантовой аннигиляции при столкновении высокоэнергетических электрон-позитронных пучков в случае, когда фотоны летят в с. ц. и. под большими углами к оси пучков. Показано, что сечение может быть записано в форме сечения процесса Дрелла-Яна использованием структурных функций. Даны оценка точности полученного результата.

Процесс

$$\begin{aligned} e^+(p_+) + e^-(p_-) &\longrightarrow \gamma(k_1) + \gamma(k_2) + \gamma(k_3), \\ s = (p_+ + p_-)^2 &\sim 2p_+k_i \sim 2p_-k_i \gg m^2, \\ p_+^2 = p_-^2 = m^2, \quad k_i^2 = 0 & \end{aligned} \quad (1)$$

в настоящее время может быть изучен с высокой степенью точности на e^+e^- -коллайдерах средних энергий со светимостью $L \sim 10^{32}$ см² с⁻¹. Необходимость в его изучении связана в первую очередь с тем, что он представляет собой фон при исследовании процессов $e^+e^- \rightarrow \pi^0\gamma$ и $e^+e^- \rightarrow \eta\gamma$ [1]. Во-вторых, его прецизионное измерение важно для проверки справедливости квантовой электродинамики в высших порядках теории возмущений [2].

Сечение процесса (1) в борновском приближении описывается шестью диаграммами Фейнмана (типа рис. *a*) и имеет вид

$$\begin{aligned} d\sigma^{e^+e^- \rightarrow 3\gamma} &= \frac{\alpha^3}{8\pi^2} \frac{A}{\chi_1\chi'_1\chi_2\chi'_2\chi_3\chi'_3} d\Gamma, \\ A &= \chi_1\chi'_1(\chi_1^2 + \chi_1'^2) + \chi_2\chi'_2(\chi_2^2 + \chi_2'^2) + \\ &+ \chi_3\chi'_3(\chi_3^2 + \chi_3'^2), \\ d\Gamma &= \frac{d\mathbf{k}_1}{\omega_1} \frac{d\mathbf{k}_2}{\omega_2} \frac{d\mathbf{k}_3}{\omega_3} \delta^{(4)}(p_+ + p_- - k_1 - k_2 - k_3), \\ s &= 4\epsilon^2, \quad \chi_i = p_- \cdot k_i = \frac{s}{4}\mathbf{v}_i(1 - c_i), \end{aligned} \quad (2)$$

$$\chi'_i = p_+ \cdot k_i = \frac{s}{4}\mathbf{v}_i(1 + c_i), \quad \mathbf{v}_i = \frac{\omega_i}{\epsilon}, \quad i = 1 - 3,$$

где $c_i = \cos\theta_i$, а θ_i – углы вылета фотонов к оси

пучка \mathbf{p} в с. ц. и. Вклад интерференции амплитуд (см. рис. *a* - *k*) в сечение имеет вид

$$\begin{aligned} \alpha^4 [A(\chi, v)L^2 + B(\chi, v)L\ln(\lambda/m) + C(\chi, v)L + \\ + D(\chi, v) + E(\chi, v)\ln(\lambda/m)] (1 + O(m^2/s)), \quad (3) \\ \chi_i \sim s, \end{aligned}$$

где $L = \ln s/m^2$ – “большой логарифм”, а λ – “масса фотона”. Учет излучения дополнительных “мягких” фотонов с энергией, не превышающей некоторой величины $\Delta\epsilon$ ($\omega < \Delta\epsilon \ll \epsilon$), приведет к замене в (3) $\ln(\lambda/m)$ на $\ln(\Delta\epsilon/\epsilon)$, при этом также сокращаются слагаемые $\sim L^2$, и, кроме того, вид функций C, D может измениться. При учете излучения дополнительного (четвертого) жесткого фотона с энергией ω_4 ($\omega_4 > \Delta\epsilon$) компенсируется также слагаемое $\sim L\ln(\Delta\epsilon/\epsilon)$. Ниже приводятся вычисления функций A, B, C . Для характерной в опытах области переменных

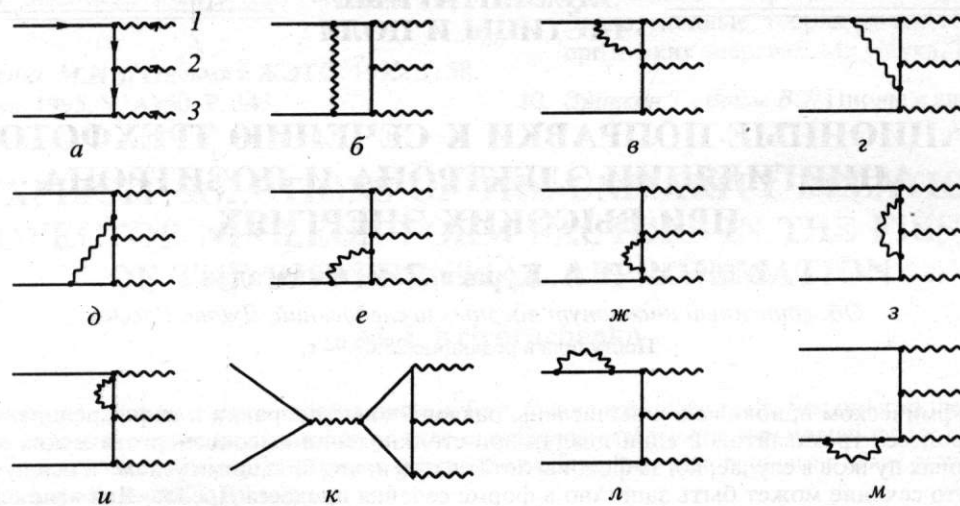
$$v_i \sim 1, \quad \chi_i \sim s, \quad |c_i| < c_0 \sim 0.8 \quad (4)$$

величины A, B, C оказываются плавно меняющимися функциями (по величине порядка единицы). Вычисление функции D требует больших усилий, особенно вклады диаграмм рис. *b*, *k*. Предположение

$$|D| \sim |B| \sim |A| \sim |C| \sim |E| \sim 1 \quad (5)$$

в области (4), тем не менее, представляется вполне естественным. Пользуясь результатами работы [3], мы убедились в справедливости (5) для вклада диаграммы рис. *k*, содержащей блок рассеяния света на свете. Предположение (5) позволяет оценить точность вычисления радиационной

¹⁾ Институт ядерной физики СО РАН, Новосибирск.



Типы диаграмм Фейнмана, описывающих процесс $e^+e^- \rightarrow 3\gamma$ в борновском и однопетлевом приближениях.

поправки в случае, если ограничиться только логарифмическим приближением:

$$\begin{aligned} d\sigma = d\sigma_0 \left(1 + \frac{\alpha}{\pi} \delta\right), \\ \left| \frac{\Delta\delta}{\delta} \right| \sim \frac{1}{L} \sim 4 - 6\%, \quad L \sim 15 - 20. \end{aligned} \quad (6)$$

Эта точность вполне достаточна для проводящихся опытов.

Выбор величины $\Delta\epsilon/\epsilon$ зависит от постановки опыта. Ограничимся эксклюзивной постановкой, запрещающей излучение дополнительных жестких фотонов:

$$2 - (\Delta\epsilon/\epsilon) \leq v_1 + v_2 + v_3 \leq 2, \quad (7)$$

где в качестве $\Delta\epsilon$ можно принять границу чувствительности детектора при измерении энергии фотона. Величина $\Delta\epsilon/\epsilon \sim 10^{-1} - 10^{-2}$ является типичной для детекторов типа "Cristall Ball".

При вычислении удобно использовать теорию возмущений с обрезанием по 4-импульсам петлевых диаграмм $|k^2| < \Lambda^2$, устраняющим ультрафиолетовые расходимости. Перенормируемость КЭД, т.е. независимость наблюдаемых результатов от параметра Λ , позволяет выбрать его как наиболее удобный:

$$s \leq \Lambda^2. \quad (8)$$

Рассмотрим вначале вклад 4-импульсов виртуального фотона из петли k , таких что $s \sim |k^2| < \Lambda^2$. Вклады диаграмм рис. *a*, *b*, *e*, *ж*, *з*, *и*, *м*, *л* имеют вид:

$$M_a = M_b = M_e = M_z = M_{ik} = M_0 \frac{\alpha}{4\pi} \ln \frac{\Lambda^2}{p^2},$$

$$M_u = M_{ik} = -M_0 \frac{\alpha}{4\pi} \ln \frac{\Lambda^2}{p^2},$$

$$M_\lambda = M_{ik} = -M_0 \frac{\alpha}{8\pi} \ln \frac{\Lambda^2}{m^2}.$$

Суммируя их, получим вклад "ультрафиолетовой области" 4-импульсов фотона:

$$\begin{aligned} M_{UV} = M_a + M_b + M_e + M_{ik} + M_z + M_u + M_{ik} + M_\lambda = \\ = M_0 \left(1 - \frac{\alpha}{4\pi} \ln \frac{p^2}{m^2} \right) = M_0 \left(1 - \frac{\alpha}{4\pi} \ln \frac{s}{m^2} \right), \end{aligned} \quad (9)$$

где $p^2 \sim s$ – характерный квадрат 4-импульса фермиона между вершинами излучения реальных фотонов.

Рассмотрим теперь вклад "мягкой" области 4-импульсов виртуального фотона $|k^2| \ll s$.

Удобно параметризовать 4-импульс виртуального фотона по Судакову: $k = \alpha p_+ + \beta p_- + k_\perp$. Кинематическая область $|\alpha| \sim |\beta| \sim 1$ отвечает большим "виртуальностям" фотона $|k^2| \sim s$. Она рассмотрена нами выше. Покажем, что логарифмические вклады в области $|\beta| \sim 1$, $|\alpha| \ll 1$ и $|\alpha| \sim 1$, $|\beta| \ll 1$ отсутствуют. Для определенности рассмотрим первую область. Логарифмические вклады в ней происходят от диаграмм, в которых виртуальный фотон испускается начальным электроном в направлении его 4-импульса $m^2 \ll kp_- \ll \epsilon^2$. Выбирая в этой кинематической области аксиальную калибровку для функции Грина виртуального фотона

$$\begin{aligned} D_{\mu\nu}(k, n) &= \frac{1}{k^2} \{ g_{\mu\nu} - \frac{1}{kn} (k_\mu n_\nu + k_\nu n_\mu) \}, \\ D_{\mu\nu} n^\nu &= 0, \quad n^2 = 0, \end{aligned}$$

где $n = p_+ - p_- (m^2/2p_+p_-)$, легко убедиться, что возникающий в числителе вектор $2p_-^\mu D_{\mu\nu}(k, n)$ обращается в нуль при $kp_- \rightarrow 0$. Аналогично показывается отсутствие логарифмических вкладов во второй области. Для области $|\alpha| \sim |\beta| \ll 1$ можно пренебречь зависимостью от 4-импульса виртуального фотона в фермионных пропагаторах между

вершинами излучения реальных фотонов. Логарифмический вклад происходит только от диаграмм рис. б. Используя прием Фейнмана для объединения знаменателей, их вклад в матричный элемент представим в виде

$$M_6 \sim \frac{-(4\pi\alpha)^{5/2}}{(2\pi)^4} i\pi^2 \int_0^1 dx \int_0^1 dy \times \\ \times \int_{|k^2| < s} \frac{d^4 k}{i\pi^2} \frac{\bar{v}\gamma_\mu(-\hat{p}_+ + \hat{k})O(\hat{p}_- + \hat{k})\gamma^\mu u}{[(1-y)(k^2 - \lambda^2) + y(k^2 + 2p_x k)]^3}, \quad (10)$$

$$p_x = xp_- - (1-x)p_+,$$

где символом O обозначен "жесткий блок" на диаграмме рис. б. Слагаемое из числителя $\sim k^2$ дает вклад $\sim \ln(p_x^2/s)$, не содержащий L . В результате

$$M_6 = M_0 \frac{\alpha}{2\pi} \int_0^1 \frac{dx s}{p_x^2} \left\{ \frac{1}{2} \ln \frac{p_x^2}{\lambda^2} - 1 \right\} = \quad (11)$$

$$= M_0 \frac{\alpha}{2\pi} \left[-\frac{1}{2} L^2 + 2L + L \ln \frac{\lambda^2}{m^2} \right],$$

где $M_0 = \bar{v}Ou$, $p_x^2 = m^2 - sx(1-x)$.

Масса фотона исчезает из выражения для дифференциального сечения при учете излучения дополнительных мягких фотонов. Сечение излучения дополнительного фотона, энергия которого в с. ц. и. не превышает $\Delta\epsilon$, имеет вид

$$d\sigma^{soft} = d\sigma_0 \left(\frac{-4\pi\alpha}{16\pi^3} \right) \int_{\omega < \Delta\epsilon} \frac{d^3 k}{\omega} \left(\frac{p_-}{p_- k} - \frac{p_+}{p_+ k} \right)^2 = \quad (12)$$

$$= \frac{\alpha}{\pi} d\sigma_0 \left\{ 2(L-1) \ln \left(\frac{2\Delta\epsilon}{\lambda} \right) - \frac{1}{2} L^2 + L \right\}.$$

Используя результаты (9) - (12), мы получим дифференциальное сечение трехфотонной аннигиляции в постановке эксперимента, когда сумма энергий фотонов мало отличается от $\sqrt{s} = 2\epsilon$ (эксклюзивная постановка):

$$d\sigma^{e^+ e^- \rightarrow 3\gamma} = d\sigma_0^{e^+ e^- \rightarrow 3\gamma} \left\{ 1 + \right. \\ \left. + \frac{\alpha}{\pi} \left[2(L-1) \ln \frac{\Delta\epsilon}{\epsilon} + \frac{3}{2} L \right] \right\}, \quad (13)$$

$$L = \ln(s/m_e^2),$$

где $d\sigma_0$ приведено выше (см. (2)).

Заметим, что (13) согласуется с сечением процесса Дрелла-Яна [4] образования системы H жестких частиц в канале аннигиляции в форме:

$$d\sigma^{e^+ e^- \rightarrow H}(s) = \int_0^{\Delta\epsilon/\epsilon} dx F(x, \beta) d\sigma_0^{e\bar{e} \rightarrow H}(s(1-x)),$$

$$F(x, \beta) = \beta x^{\beta-1} \left(1 + \frac{3}{4} \beta \right) - \beta \left(1 - \frac{1}{2} x \right) + O(\beta^2), \quad (14)$$

$$\beta = \frac{2\alpha}{\pi} (L-1),$$

что подтверждает справедливость факторизационной теоремы.

Авторы благодарят В.С. Фадина и Л.Н. Липатова за полезные обсуждения.

СПИСОК ЛИТЕРАТУРЫ

1. Dolinsky S. et al. // Phys. Rep. 1991. V. 202. P. 99. Behrend H.-J. et. al. // Phys. Lett. 1988. V. B202. P. 154.
2. Guzenko S.Ya. et al. // Proc. Semin. "Physics of e^+e^- Interactions". JINR, Dubna, 1989. P. 19.
3. Baier V.N., Fadin V.S., Kuraev E.A. // Yad. Fiz. 1980. V. 31. P. 700.
4. Kuraev E.A., Fadin V.S. // Sov. J. Nucl. Phys. 1985. V. 41. P. 466.

RADIATIVE CORRECTIONS TO THE THREE-PHOTON ANNIHILATION CROSS SECTION IN HIGH-ENERGY ELECTRON-POSITRON COLLISIONS

E. A. Kuraev, Z. K. Silagadze

The radiative corrections to the large-angle-three-photon-annihilation differential cross section in high-energy electron-positron collisions are calculated in the logarithmic approximation. We show that the result can be written in the form of the Drell-Yan process cross section. The accuracy of the logarithmic approximation is estimated to be 4 - 6%.